

ارتباط بین ویژگی‌های معدنی با ریزرساره‌ها و محیط رسوبی سنگ‌های کربناته کرتاسه زیرین  
در برش معدن دهسرخ (جنوب غرب اصفهان)

زهرا طالبی<sup>۱</sup>، عبدالحسین کنگازیان<sup>۱</sup> و علی خان نصر اصفهانی<sup>۱</sup>

#### ۱- گروه زمین‌شناسی، دانشگاه آزاد اسلامی، واحد خوراسگان

\*zahratalebi128@yahoo.com : نویسنده مسئول

دریافت: ۹۴/۲/۳۰ پذیرش: ۹۴/۱۰/۲۶

چکیده

به منظور تعیین ارتباط بین ویژگی‌های معدنی و رسبوشناسی نهشته‌های کربناته کرتاسه زیرین (آپتین) معدن دهسرخ اصفهان یک برش سطحی به ضخامت حدود ۱۸۲ متر از این سنگ‌ها مورد مطالعه قرار گرفت. با توجه به مطالعات صحرایی و خصوصیات سنگ‌شناسی این توالی، می‌توان آن را به سه واحد سنگ‌چینه‌نمگاری مختلف تقسیک کرد. واحد نخست (واحد E1) از آهک نازک لایه‌تا متوسط لایه خاکستری و پرسیل تشکیل شده است، واحد دوم (E2) شامل تنابوی از آهک و آهک‌رسی متوسط تا ضخیم لایه‌ی خاکستری است و واحد سوم (E3) از آهک‌های متوسط تا نازک لایه‌با فسیل‌های درشت تشکیل شده است. مطالعات آزمایشگاهی و بررسی مقاطع نازک میکروسکوپی به شناسایی ۸ ریزخساره کربناته منجر گردید. این ریزخساره‌ها از دو ریزخساره گرین‌استونی، دو ریزخساره پکستونی، سه ریزخساره روداستونی و یک ریزخساره فلوتستونی تشکیل شده‌اند. این رسوبات عمده‌تاً در قسمت‌های مختلف رمپ میانی و ابتدای رمپ پایانی یک پلاتفرم کربناته با انرژی متوسط تا زیاد تشکیل شده‌اند. مقایسه نتایج کلسی‌متري با محیط رسوبی و ریزخساره‌ها نشان داد که بخش دور از منشأ رمپ میانی بهترین شرایط و بخش رمپ خارجی بدترین شرایط را برای ایجاد خلوص در این منطقه دارا بوده است.

**واژه‌های کلیدی:** کرتاسه زیرین (آپتین)، رخساره، ریز رخساره کربناته، رمپ کربناته

۱ و ۲). این معدن در محدوده‌ای با طول‌های

مقدمة

هدف از انجام این مطالعه، بررسی نحوه رسوب گذاری و محیط رسوبی سنگ‌های کرتاسه زیرین معدن دهسرخ و ارتباط آن‌ها با ویژگی‌های معدنی و اقتصادی آن می‌باشد. به عبارت دیگر، مهم‌ترین هدف این پژوهش شناخت رخساره‌ها و بازسازی شرایط محیطی نهشته‌های کرتاسه زیرین و ارتباط آن‌ها با ویژگی‌های معدنی در این محدوده است. نتیجه این تحقیق می‌تواند در پی جویی ذخایر جدید سنگ‌آهک در مناطق دیگر مشمر شمر باشد. از دلایل انتخاب این موضوع اهمیت آن در اقتصاد کشور و مصرف بسیار زیاد سنگ‌های آهکی در داخل کشور و صنایع گوناگون می‌باشد. مصرف صنعتی مواد معدنی استخراج شده به عنوان تصفیه در کارخانه قند و کمک ذوب در ذوب آهن و صنعت فولاد مبارکه و .... می‌باشد [۳]. معدن سنگ‌آهک ده سرخ در حدود ۳۱ کیلومتری جنوب‌غرب اصفهان واقع در نزدیکی پلیس راه اصفهان - شیراز و در ابتدای شهر مبارکه واقع شده است (شکل‌های

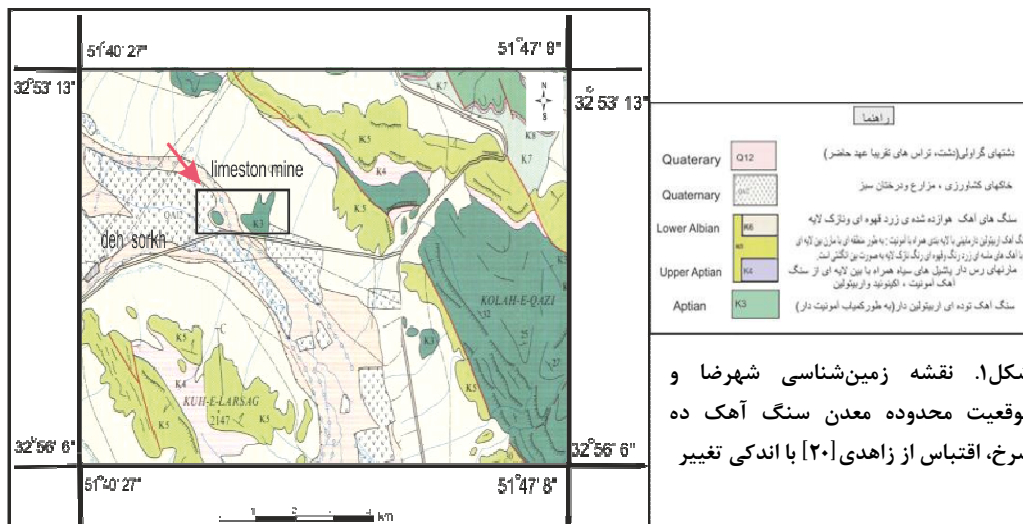
روش‌های بیژوپس

برای بازسازی محیط‌رسوی، شرایط رسوب‌گذاری و تعیین ارتباط ویژگی معدنی سنگ‌های کربناته کرتاسه زیرین معدن دهسرخ ابتدا گزارش زمین‌شناسی معدن و نقشه زمین‌شناسی شهرضا [۳] و نقشه توپوگرافی معدن [۲] مورد بررسی، قرار گرفت (شکل‌های ۱ و ۳). سپس بر

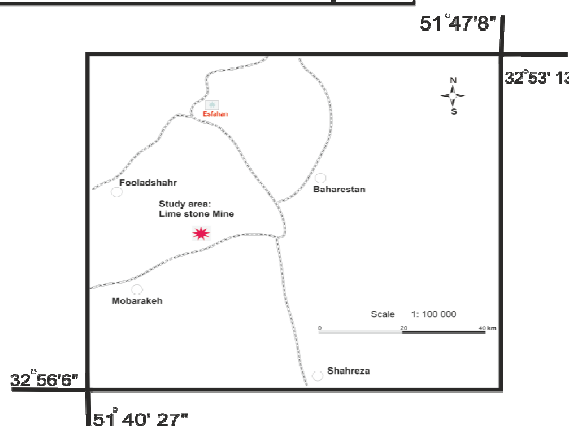
تعیین گردید (جدول ۱). خلوص آهک (درصد بالای کربنات کلسیم) ویژگی مهم معدنی این سنگ‌ها محسوب می‌شود.

برای شناسایی و تفکیک رخساره‌ها از روش [۱۱] استفاده شد. ریز رخساره‌ی تعیین شده، بر مبنای نام آلوکم‌ها و نام اقتباسی از طبقه‌بندی [۵]، نام‌گذاری و چینش آن‌ها در کنار هم نیز بر طبق قانون والتر (نقل از میدلتون [۱۲]) و با استفاده از روش سلی (نقل از واکر [۱۸]) تعیین گردید. در نهایت این ریز رخساره‌ها با ریز رخساره‌های [۱۷] و [۹] مقایسه شدند. محیط رسوی سنگ‌های کرتاسه زیرین معدن دهسرخ بر مبنای ریز رخساره‌های شناسایی شده و با مقایسه با مدل‌های رخساره‌ای استاندارد (به عنوان مثال: فلوگل [۹]، واکر [۱۸] و [۴]) بازسازی شد. با بررسی نتایج آتاپلیز تیتراسیون ریز رخساره و زیرمحیطی که بیشترین درصد کربنات کلسیم را به خود اختصاص می‌داده تعیین گردید.

اساس روش‌های پیشنهادی [۱۶] بهترین برش جهت برداشت اطلاعات صحرایی انتخاب و از آن به روش سیستماتیک رخساره‌ای نمونه‌برداری شد (فاصله بین نمونه‌ها حداقل ۱ متر در نظر گرفته شد). آنگاه، به منظور شناخت و تفکیک کانی‌های کربنات، ۷۴ مقطع نازک میکروسکوپی از نمونه‌های صحرایی تهیه و به وسیله محلول فری‌سیانید پتانسیم و آلیازرین قرمز (ARS) مطابق با روش دیکسون [۶] رنگ‌آمیزی شدند. این مقاطع با کمک میکروسکوپ پلاریزان (Nikon E200) و با استفاده از منابعی چون [۹]، [۱۵] و [۸] در آزمایشگاه زمین‌شناسی دانشگاه آزاد اسلامی واحد اصفهان (خوارسگان)، مطالعه و با استفاده از روش [۵] بازنگری شده و توسط [۷] نام‌گذاری شدند. با انجام آزمایش تیتراسیون در پژوهشکده دانشگاه آزاد اسلامی واحد اصفهان (خوارسگان) درصد کربنات کلسیم و درصد عنصر اصلی (Mg و Ca) ۳۰ نمونه از سنگ‌های کربناته



شکل ۱. نقشه زمین‌شناسی شهرضا و موقعیت محدوده معدن سنگ آهک ده سرخ، اقتباس از زاهدی [۲۰] با اندکی تغییر



شکل ۲. نقشه راههای دسترسی به ناحیه معدنی ده سرخ در جنوب غرب اصفهان (بازترسیم شده از روی نقشه زمین‌شناسی، زاهدی (۱۳۵۵)

جدول ۱. نتایج کلسیمتری منطقه معدنی دهسرخ، واقع در جنوب غرب اصفهان (در ستون دوم primary، وزن رسوب قبل از آزمایش می‌باشد)

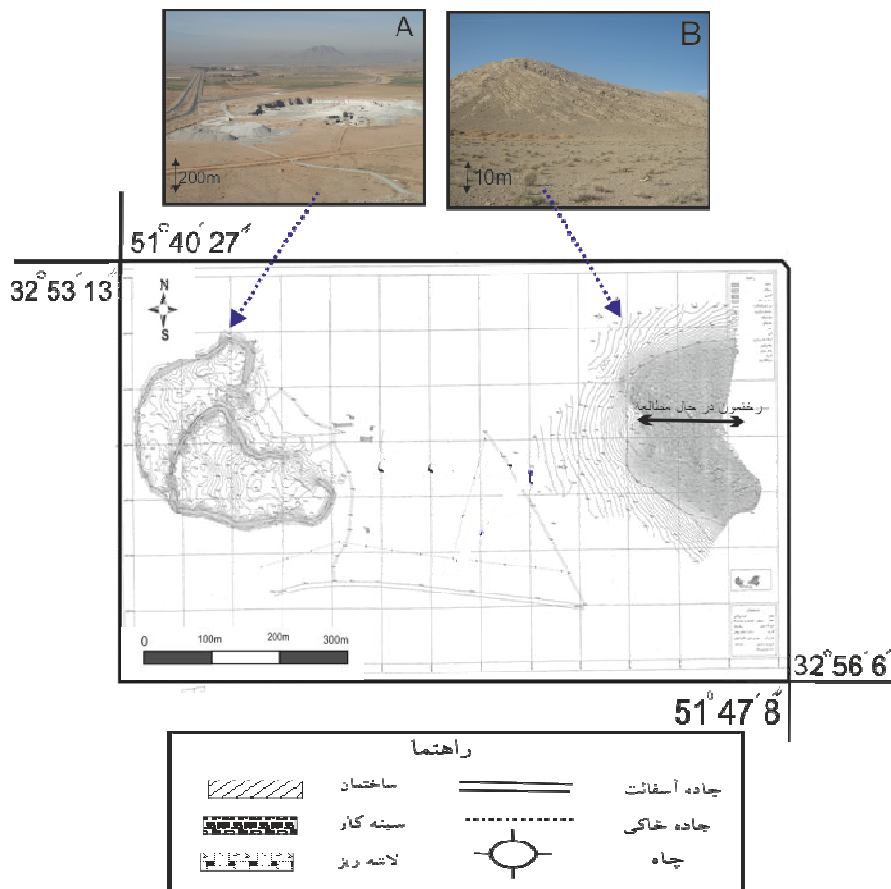
Sample	Primery W(gr)	%CaCO <sub>3</sub>	CaMgCO <sub>3</sub>	T°C
۲	۰/۵	٪۹۵	•	۲۵
۳	۰/۵	٪۱۰۰	•	۳۱
۵	۰/۵	٪۹۸	•	۲۸
۷	۰/۵	٪۹۵	•	۳۲
۹	۰/۵	٪۹۹	•	۳۲
۱۱	۰/۵	٪۹۳	•	۲۷
۱۳	۰/۵	٪۹۴	•	۳۰
۱۵	۰/۵	٪۹۲	•	۳۰
۱۷	۰/۵	٪۹۷	•	۲۹
۱۹	۰/۵	٪۸۸	•	۲۶
۲۱	۰/۵	٪۹۰	•	۲۷
۲۳	۰/۵	٪۹۴	•	۳۰
۲۵	۰/۵	٪۹۱	•	۲۷
۲۷	۰/۵	٪۱۰۰	•	۲۸
۲۹	۰/۵	٪۹۲	•	۲۸
۳۱	۰/۵	٪۹۶	•	۲۶
۳۳	۰/۵	٪۹۴	۲	۲۸
۳۵	۰/۵	٪۹۴	•	۲۸
۳۷	۰/۵	٪۹۰	•	۲۸
۳۹	۰/۵	٪۹۲	۱	۲۸
۴۱	۰/۵	٪۹۱	•	۲۸
۴۳	۰/۵	٪۹۷	•	۲۸
۴۵	۰/۵	٪۹۴	•	۲۸
۴۷	۰/۵	٪۹۰	•	۲۷
۴۹	۰/۵	٪۹۸	•	۲۷
۵۳	۰/۵	٪۹۰	•	۲۸
۵۵	۰/۵	٪۹۵	•	۲۷
۵۷	۰/۵	٪۸۹	•	۲۷
۶۱	۰/۵	٪۹۷	•	۳۰
۶۳	۰/۵	٪۹۴	•	۲۷

### E1 واحد کربناته زیرین

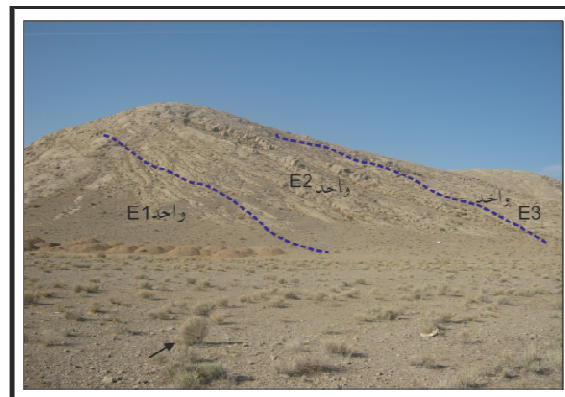
این واحد با ضخامت حدود ۶۹ متر، اولین واحد سنگ‌چینه‌نگاری در برش مورد مطالعه می‌باشد (شکل‌های ۵ و ۴). نهشته‌های سنگی این واحد را تنابوی از آهک نازک‌لایه تا متوسط‌لایه، که در بعضی نقاط ضخیم لایه هستند، تشکیل می‌دهند. این سنگ‌های آهکی براساس طبقه‌بندی [۱۰] از کالک‌آرنايت تا عمدتاً کلسی‌رودايت در تغییر هستند.

### یافته‌ها

منطقه معدنی مورد مطالعه از دو رخنمون غربی و رخنمون شرقی تشکیل شده است [۲]. نهشته سنگ‌های کرتاسه زیرین هم اکنون به عنوان سنگ معدن در رخنمون غربی در حال بهره‌برداری است (سازمان زمین‌شناسی کشور [۳]). برش مورد بررسی در این مطالعه، در رخنمون شرقی معدن انتخاب شده است (شکل [۳]). این توالی بر اساس تغییرات سنگ‌شناسی، ضخامت لایه‌ها، محتوا فسیلی و رنگ لایه‌ها، به سه واحد سنگ‌چینه‌نگاری به شرح زیر تقسیم گردید:



شکل ۳. نقشه توپوگرافی منطقه معدنی ده سرخ در جنوب غرب اصفهان (دلای اصفهانی [۲] با کمی تغییرات) و تصاویر صحرایی مربوط به آن. شکل (A) رخنمون غربی در حال بهره‌برداری و استخراج، شکل (B) رخنمون شرقی مورد مطالعه (نگاه دوربین به سمت غرب)

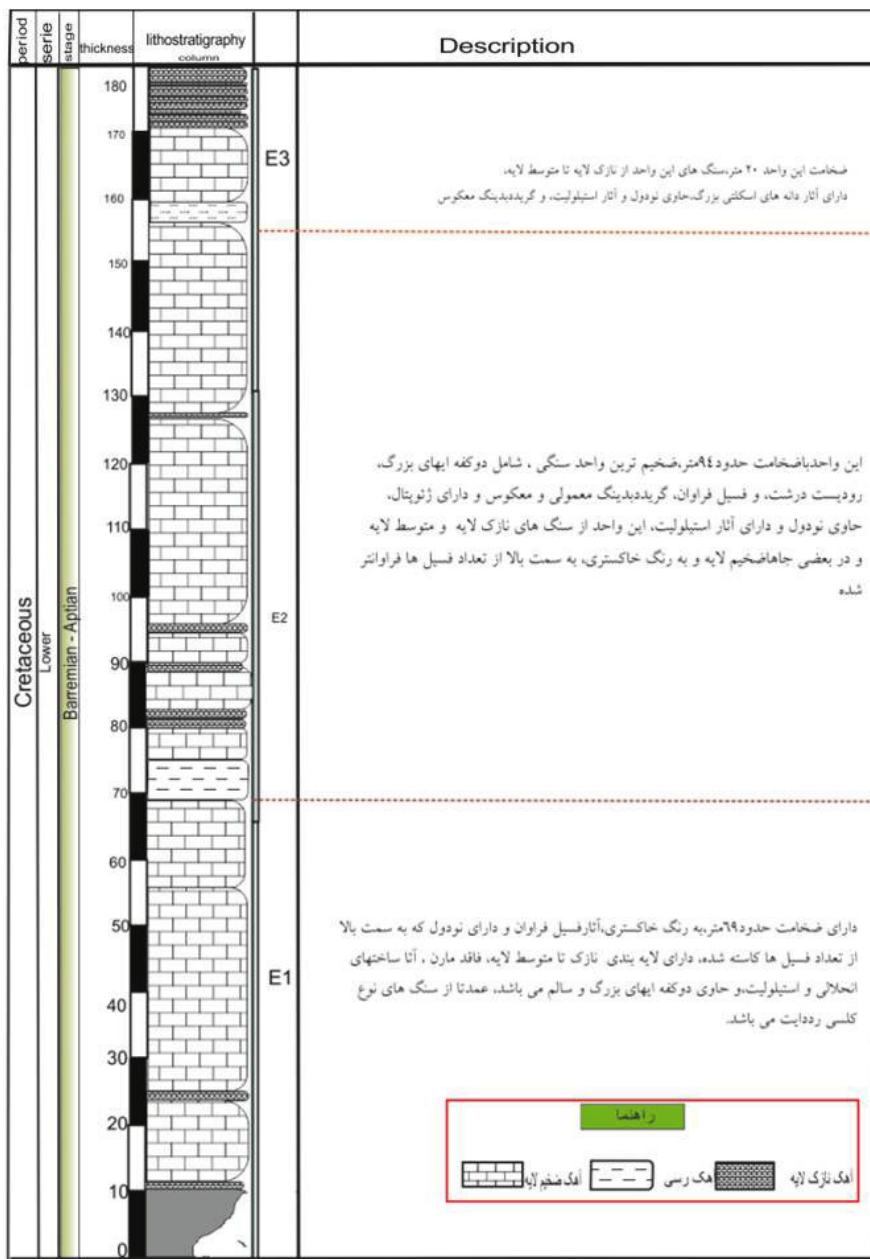


شکل ۴. رخنمون نهشت‌های کرتاسه زیرین در معدن ده سرخ، جنوب غرب اصفهان (دید به سمت غرب) علامت پیکان: (طول بوته‌های خار بزرگ ۴۰ تا ۳۰ سانتی‌متر)

این سنگ‌ها بر اساس طبقه‌بندی [۱۰] کلسی‌رودایت و عمده‌تا کالک‌آرنایت نام‌گذاری شده‌اند (شکل‌های ۴ و ۵).

واحد E3 (واحد کربناته بالایی) یا واحد آهک خاکستری رنگ

این واحد با ضخامت ۲۰ متر تنابوی از سنگ‌های متوسط لایه تا نازک لایه و به رنگ خاکستری روشن تا تیره است.



شکل ۵. ستون سنگ چینه نگاری توالی کرتاسه زیرین معدن دهسرخ (جنوب غرب اصفهان)

آلوم می باشد. مهم ترین این آلوم ها را خرد های اسفنج و قطعات اکینودرم تشکیل می دهند و اجزای فرعی آن را فرامینیفرها (اربیتولین)، خرد های دو گفه ای، رودبست، مرجان و کور تؤید تشکیل داده است (شکل ۶). نتایج حاصل از آنالیز کلسی متری نشان می دهد که میانگین درصد کربنات کلسیم نمونه های به دست آمده از این ریز رخساره ۹۴/۲٪ می باشد. با توجه به ویژگی های ذکر شده این ریز رخساره تقریباً معادل RMF۲۷ [۹] و SMF ۵ [۱۷] می باشد.

#### شرح و تفسیر ریز رخساره ها

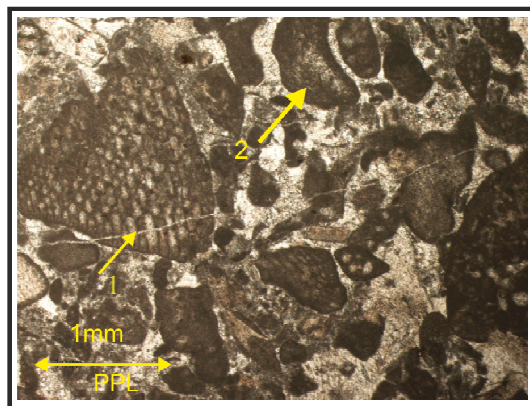
مطالعه بر روی سنگ های کرتاسه زیرین ناحیه معدن آهکی دهسرخ سبب شناسایی ۸ ریز رخساره کربناته گردید که در زیر شرح و تفسیر می شوند.

#### دسته ریز رخساره های گرین استونی (G)

این دسته از دو ریز رخساره تشکیل شده است.

#### ریز رخساره اکینودرم اسفنج گرین استون (F1)

این ریز رخساره در صحراء به صورت آهک متوسط لایه [۱۳] دیده شده است (شکل ۶) و حاوی بیش از ۶۲٪



شکل ۶. تصویر میکروسکوپی رخساره اکینودرم اسفنگ گرین استون (F1)، مقطع شماره ۳، واحد E1، توالی کرتاسه زیرین، معدن ده سرخ، جنوب غرب اصفهان. پیکان شماره ۱ اربیتولینا و پیکان شماره ۲ خرده‌های اسفنگ و بیوکلاستهای میکروتی شده را نشان می‌دهند.

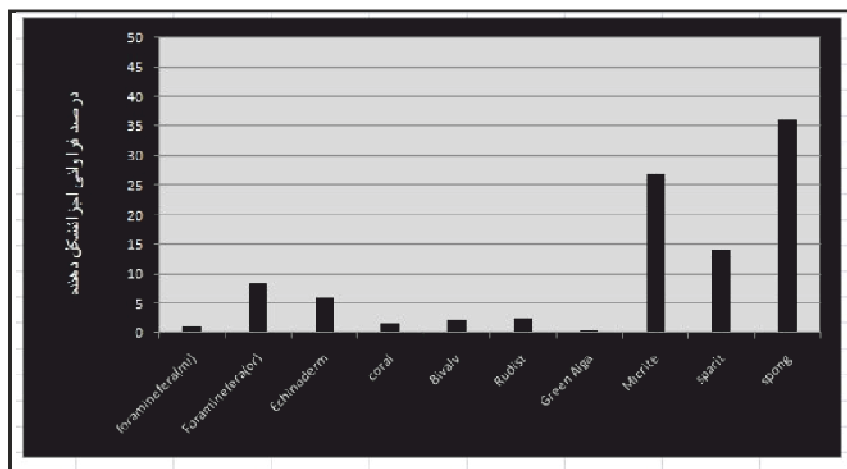
می‌باشد. با توجه به ویژگی‌های ذکر شده این ریز رخساره تقریباً معادل RMF27 [۹] و SMF ۵ [۱۷] می‌باشد.

#### رخساره اسفنگ روداستون (F3)

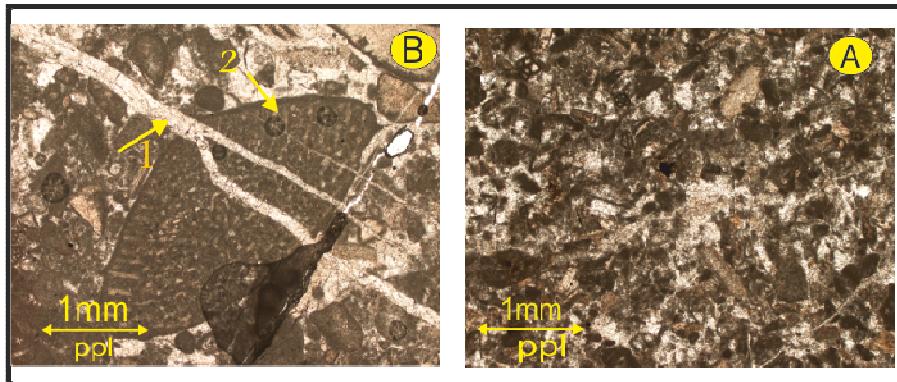
این ریز رخساره در صحراء بیشتر به صورت آهک نازک لایه و به رنگ خاکستری دیده و سنگ‌های مربوطه کلسی رو دایت [۱۰] نام‌گذاری می‌شود. در سطح لایه‌های آهکی مذکور آثار رو دیست و دوکفای‌ها به وضوح قابل مشاهده است (شکل ۹، A, B, C). این رخساره حاوی بیش از ۶۳٪ آلوکم می‌باشد. مهم‌ترین این آلوکم‌ها را خرده‌های اسفنگ و اجزای فرعی را خرده‌های دوکفایی، رو دیست، مرجان، فرامینیفر، جلبک سبز و اکینودرم تشکیل داده است شکل (۹). نتایج حاصل از آنالیز کلسی متري نشان می‌دهد که میانگین درصد کربنات کلسیم نمونه‌های بدست آمده از این ریز رخساره ۹۵/۷٪ می‌باشد. با توجه به ویژگی‌های ذکر شده این ریز رخساره معادل RMF28 [۹] و SMF6 [۱۷] می‌باشد.

#### ریز رخساره اسفنگ گرین استون (F2)

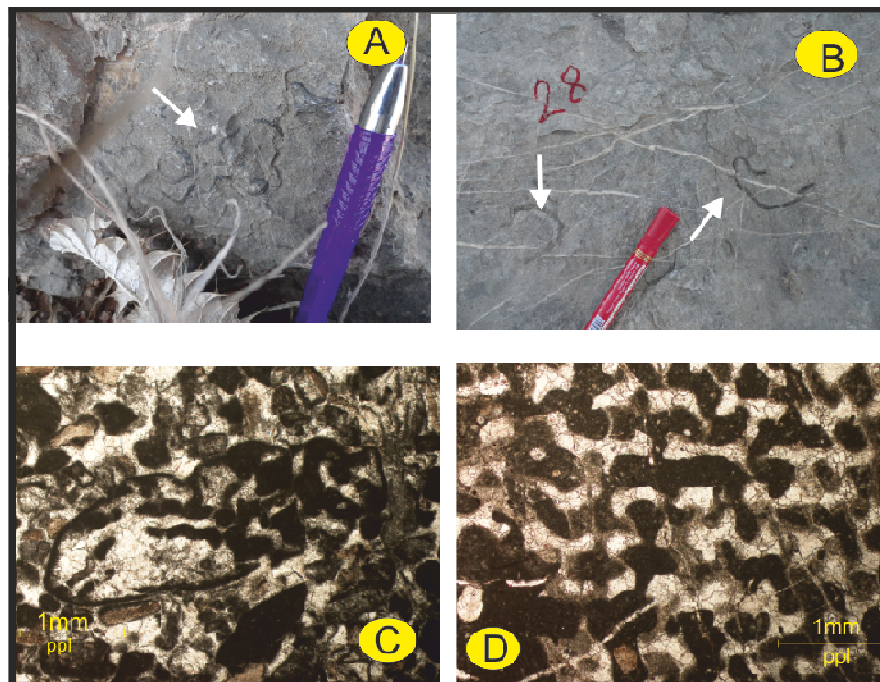
سنگ‌های این ریز رخساره در صحراء به صورت آهک متواتسط لایه تا ضخیم لایه و به رنگ خاکستری دیده می‌شوند. این سنگ‌ها را می‌توان کالک‌آرنایت تا کلسی رو دایت [۱۰] نام‌گذاری نمود. بیش از ۶۲٪ از اجزاء این ریز رخساره را خرده‌های اسفنگ تشکیل می‌دهد. اجزای فرعی را (بیشتر اربیتولینا و کمتر میلیولیدا)، قطعات اکینودرم، خرده‌های مرجان، دوکفایی، رو دیست و جلبک سبز تشکیل داده است. در این ریز رخساره فضای بین دانه‌ها را بیش‌تر گل‌آهکی (۲۷٪) و به مقدار کمتر اسپاریت (۱۳/۵٪) پر کرده است، به همین دلیل فایبریک ضعیف شسته شده (پورلی واشد) از خود نشان می‌دهد (شکل‌های ۸ و ۷). نتایج حاصل از آنالیز کلسی متري نشان می‌دهد که میانگین درصد کربنات کلسیم نمونه‌های بدست آمده از این ریز رخساره ۹۳/۶٪



تصویر ۷. درصد فراوانی اجزاء در ریز رخساره اسفنگ گرین استون (F2)، توالی کرتاسه زیرین، معدن ده سرخ، جنوب غرب اصفهان



شکل ۸. تصاویر میکروسکوپی رخساره پورلی واشد اسفنج گرین استون (F2)، توالی کرتاسه زیرین، معدن ده سرخ، جنوب غرب اصفهان تصویر (A): اثار فرامینیفر و خرددهای اسفنج در ریز رخساره اسفنج پورلی واشد گرین استون، مقطع شماره ۳۴، واحد E2 تصویر (B): پیکان شماره ۱ به درزهای کلسیتی و پیکان شماره ۲ به اریبتوولین همراه با شکستگی‌های پر شده با کلسیت، اشاره دارد، مقطع شماره ۴، واحد E1



شکل ۹. تصاویر صحرایی و میکروسکوپی رخساره اسفنج روداستون (F3)، توالی کرتاسه زیرین، معدن ده سرخ، جنوب غرب اصفهان A: تصویر کلسی رودایتی از ریز رخساره اسفنج روداستون (F3) علامت پیکان، قطعات دوکفه‌ای را نشان می‌دهد، نمونه شماره ۱۲، متراز ۵۱ متر، واحد E1 شکل B: تصویر صحرایی از ریز رخساره اسفنج روداستون (F3)، هردو علامت پیکان، آثار دوکفه‌ای را نشان می‌دهند، نمونه شماره ۲۸، متراز ۱۰۲/۴ متر، واحد E2 شکل C: تصویر میکروسکوپی از ریز رخساره اسفنج روداستون، مقطع شماره ۶۹، واحد E3 شکل D: تصویر میکروسکوپی از ریز رخساره اسفنج روداستون، مقطع شماره ۲۸، واحد E2

رودیست (با اندازه بزرگتر از ۲mm) است. نتایج حاصل از آنالیز کلسی‌متری نشان می‌دهد که میانگین درصد کربنات کلسیم نمونه‌های بهدست آمده در این ریز رخساره ۹۴/۲٪ می‌باشد. با توجه به ویژگی‌های ذکر شده این ریز رخساره معادل RMF28 [۹] و 6SMF [۱۷] می‌باشد.

**رخساره رودیست اسفنج روداستون (F4)**  
لایه‌های این ریز رخساره، که در صحراء به صورت آهک‌های توده‌ای ضخیم لایه و متوسط لایه و به رنگ خاکستری مشاهده می‌شوند، کلسی‌رودایت [۱۰] نام‌گذاری می‌شوند. این رخساره حاوی بیش از ۶۳٪ خرددهای اسفنج و

فابریک این ریزرساره دانه پشتیبان بوده و فضای بین دانه‌های آن را در بیشتر موارد گل آهکی و گاهی اسپاریت پرکرده است (شکل، ۱۱، B). نتایج حاصل از آنالیز کلسی‌متري نشان می‌دهد که میانگین درصد کربنات کلسیم نمونه‌های بهدست آمده در این ریزرساره ریزرساره تقریباً معادل  $RMF9$  [۹] و  $SMF5$  [۱۷] می‌باشد.

#### رساره اسفنج فلوتستون (F7)

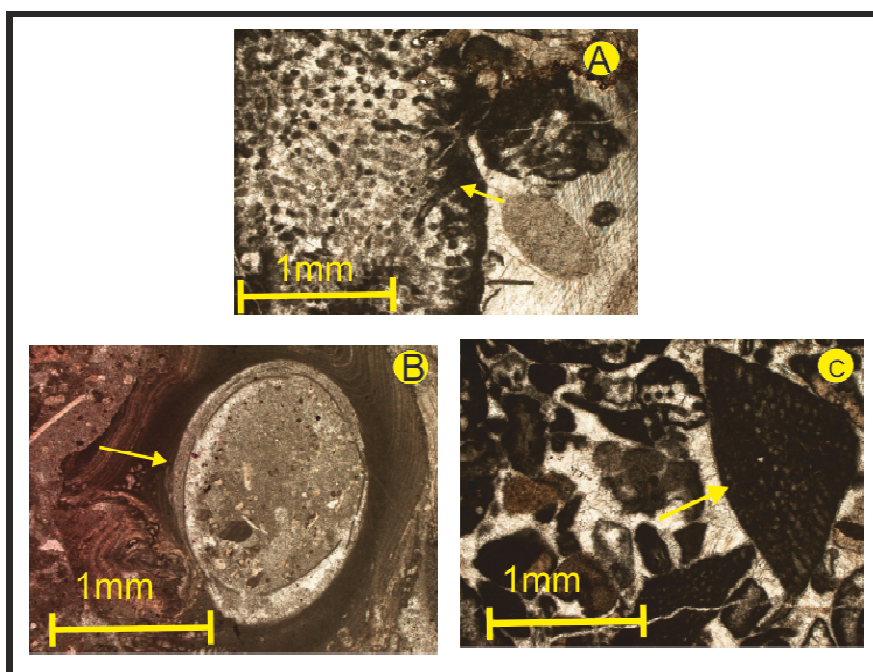
سنگ‌های کلسی‌رودايت [۱۰] مربوط به این ریزرساره در صحراء بیشتر به صورت ضخیم لایه و به رنگ خاکستری دیده می‌شود. مهم‌ترین آلومکم‌های این ریزرساره را خرددهای اسفنج و اجزای فرعی را مرجان جلبک سبز، فرامینیفر، دوکفهایها و اکینودرم تشکیل می‌دهد. نتایج حاصل از آنالیز کلسی‌متري نشان می‌دهد که میانگین درصد کربنات کلسیم نمونه‌های بهدست آمده در این ریزرساره  $97\%$  می‌باشد. این ریزرساره تقریباً معادل  $RMF15$  [۹] و  $SMF6$  [۱۷] می‌باشد. (شکل، ۱۱ و A).

#### رساره اربیتولینا اسفنج روداستون (F5)

لایه‌های این ریزرساره در صحراء بیشتر به صورت آهک ضخیم لایه و به رنگ خاکستری رنگ مشاهده شده است. در صحراء سنگ‌های مربوطه کلسی‌رودايت و کالک‌آرنایت [۱۰] نام‌گذاری می‌شوند. این ریزرساره حاوی بیش از  $5.9\%$  خرددهای اسفنج، روکیست، دوکفهای درشت، فرامینیفر و جلبک سبز است شکل (۱۰). نتایج حاصل از آنالیز کلسی‌متري نشان می‌دهد که میانگین درصد کربنات کلسیم نمونه‌های به دست آمده در این ریزرساره  $94/4\%$  می‌باشد. این ریزرساره تقریباً معادل  $RMF27$  [۹] و تقریباً  $6$   $SMF$  [۱۷] می‌باشد.

#### رساره اسفنج پکستون (F6)

عناصر آلومکمی بیش از  $65\%$  از حجم کل این ریزرساره را تشکیل داده است. بر اساس مشاهدات صحرایی مهم‌ترین آلومکم این ریزرساره را خرددهای اسفنج و مرجان تشکیل می‌دهد. سایر اجزای آن عبارتند از: پوسته‌های فرامینیفر، قطعات اکینودرم، خرددهای برآکیوپود، روکیست و دوکفهای‌های دیگر تشکیل می‌دهد.

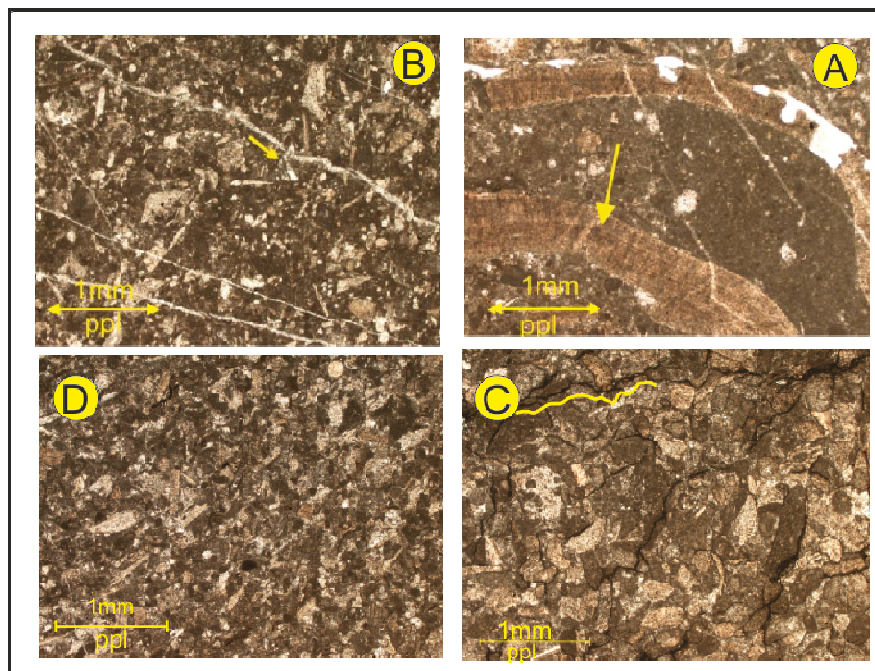


شکل ۱۰. تصاویر میکروسکوپی از ریزرساره اربیتولینا اسفنج روداستون (F5)، توالی کرتاسه زیرین، معدن ۵ سرخ، جنوب‌غرب اصفهان A: علامت پیکان آثار جلبک سبز در این ریزرساره را نشان می‌دهد. مقطع شماره ۶۷، واحد E3. B: علامت پیکان آثار مرطب به کرم‌های حلقوی در این ریزرساره را نشان می‌دهد. مقطع شماره ۳۲، واحد E2. C: علامت پیکان: اثار اربیتولینا و خرددهای اسفنج در این ریزرساره را نشان می‌دهد. مقطع شماره ۶۵، واحد E3

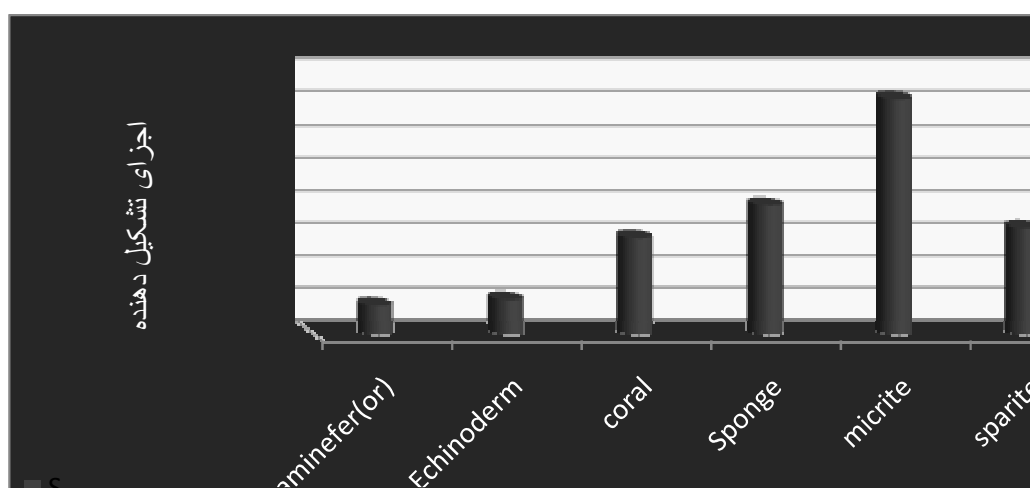
رخساره در صحرا به صورت سنگ‌های کلسی‌رودایتی [۱۰] خضیم لایه مشاهده شده است. مهم‌ترین آلوکم‌ها را خرده‌های اسفنجی و مرجان تشکیل داده‌اند. این ریز رخساره تقریباً معادل [۹] RMF1 و تقریباً معادل [۱۷] می‌باشد. (شکل ۱۱، C,D) و شکل (۱۲).

#### رخساره آرژیلیت پکستون (F8)

نتایج حاصل از آنالیز کلسی‌متیری نشان می‌دهد که میانگین درصد کربنات کلسیم نمونه‌های بهدست آمده در این ریز رخساره ۸۸/۲٪ می‌باشد. بنابراین میزان ذرات ریز آواری در آن بیش از ۱۰ درصد است به همین خاطر می‌توان آن را آهک رس‌دار یا آرژیلیتی دانست. این ریز



شکل ۱۱. تصاویر میکروسکوپی از ریز رخساره‌های توالی کرتاسه زیرین، معدن ده سرخ، جنوب غرب اصفهان: A: تصویر میکروسکوپی از ریز رخساره اسفنج فلوتستون، F7، (علامت پیکان به خرده‌های رودیست اشاره دارد)، مقطع شماره ۴۹، واحد E2 B: تصویر میکروسکوپی از ریز رخساره اسفنج پکستون، F6، (علامت پیکان به فرامینیفر موجود در ریز رخساره اشاره دارد)، مقطع شماره ۶۳، واحد E3 C: تصویر میکروسکوپی از ریز رخساره آرژیلیت پکستون، F8، (آثار خرده‌های اسفنج، درزه‌های استیلولیت با خط زرد گویا شده‌اند)، مقطع شماره ۵۷، واحد E2، مقطع شماره ۵۷، واحد E2D: تصویر میکروسکوپی از ریز رخساره آرژیلیت پکستون، F8 (خرده‌های اسفنج به خوبی مشخص هستند)، مقطع شماره ۱۹، واحد E1



شکل ۱۲. درصد فراوانی اجزاء در ریز رخساره آرژیلیت پکستون (F8)، توالی کرتاسه زیرین معدن ده سرخ، جنوب غرب اصفهان

می شود [۹]. بنابراین ریز رخساره معادل ریز رخساره های ذکر شده در مدل [۹] به سدها و شولها و در مدل ولیسون [۱۷] به کمر بند رخساره ای ۴ نسبت داده شده است.

بررسی آلوکم‌ها در ریز رخساره آرژیلیت پکستان (F8) نشان می‌دهد که این آلوکم‌ها از محیط‌های بالادست به این نقطه وارد شده و رسوب کردۀ‌اند [۹]. و به دلیل دارا بودن رس آواری بیشتر نسبت به ریز رخساره‌های قبلی مخصوصاً (F7) در یک محیط عمیق‌تر قرار گرفته است، پس می‌تواند گواه بر این باشد که این ریز رخساره در یک محیط آرام با انرژی کم نهشته شده‌اند، بنابراین تشکیل این ریز رخساره را می‌توان به زیر محیط رمپ خارجی نسبت داد [۹]. ریز رخساره معادل این ریز رخساره در مدل [۹] به دریای خارجی و در مدل ویلسون [۱۷] به کمربند رخساره‌ای نسبت داده می‌شود شکل (۱۳).

مدل رسوب گذاری

مطالعه ریزخسارهای مربوط به سنگ‌های آپتین در معدن دهسرخ، بررسی تغییرات عمودی در ستون رخساره، تعیین همبستگی بین رخساره‌ها تشخیص ریزخسارهایی که در کنار هم رسوب می‌کرده‌اند بر اساس قانون والتر [۱۲] و مقایسه آن‌ها با مدل رخساره‌ای مربوط به محیط‌های دریایی کربناته (به عنوان مثال [۱۷ و ۹]، شرایط لازم برای ارائه یک مدل رخساره‌ای مربوط به محیط دریایی کم عمق را فراهم نمود. بر اساس یافته‌های این پژوهش تقریباً هیچ رخساره‌ی توربیدیاتی در توالی سنگ‌های مورد مطالعه وجود نداشت و از طرف دیگر آلومک‌های شناسایی شده کم یا بیش در همه ریز رخساره‌ها دیده می‌شدند. بنابراین، یک رمپ کربناته (از نوع هموکلینال) به عنوان مدل رسوب‌گذاری مطابق با مدل [۹ و ۱۴] ارائه می‌گردد. رمپ‌های کربناته بر اساس نظر آن‌ها به چهار بخش: رمپ داخلی، رمپ میانی، رمپ خارجی و حوضه قابل تقسیم است. در این منطقه تنها تشکیل رمپ میانی و رمپ خارجی برای نهشته‌های کرتاسه زیرین معدن دهسرخ به شرح زیر اثبات گردیده است:

زیر محیط رمپ میانی

با توجه به نوع آلوکم‌های موجود در این ریز رخساره‌ها از جمله اسفنج‌ها، مرجان‌ها، جلبک‌ها، و اکینودرم که اکثرا

تفسیر رخسارهای

با توجه به ویژگی‌های ریزرسارهای F1,F2, F3,F4,F5 می‌توان تشکیل آن‌ها را در شرایط پر انرژی حوضه انتظار داشت [۹]. زیرا تمامی آن‌ها علاوه بر اینکه دارای فابریک دانه پشتیبان هستند، قادر گل بوده یا میزان گل آن‌ها کم است. وجود گل در ریزرساره F2 نشان از تشکیل آن در شرایط کم انرژی‌تری نسبت به ریزرساره F1 است. قطعات متنوع فسیلی خرد شده در حد ماسه در این ریزرساره‌ها نشان از نایرجابودن این قطعات و حمل و نقل مجدد آن‌هاست. ریزرساره‌های روداستون (F3) تا (F5) و فلوتستون‌ها (F7) به احتمال زیاد از ریفهای روودیستی همراه با اسفنج و مرجان منشا گرفته‌اند. زیرا روودیسته‌های کرتاسه زیرین در سازندگی کالک‌آرناپیتی و کلسی‌روداپیتی اهمیت خاصی دارند و معرف رخساره‌های ریفی و حاشیه ریف می‌باشند [۱]. روداستون‌ها نزدیک‌تر به منشا (ریف‌ها) بوده و می‌توانند عمدتاً در بخش‌های شبی پلاتفرم دریا اطراف ساختمندانهای بانداستونی باشد [۹]. در حالی‌که فلوتستون‌ها جایگایی بیش‌تری را تحمل کرده‌اند. فرامینفرهای یافت شده در این ریزرساره‌ها بیش‌تر از نوع اربیتولین‌های مخروطی شکل می‌باشد که متعلق به محیط دریایی با شوری آب دریا است، حمل شده‌اند [۹]. ویژگی‌های ریزرسارهای پکستونی (F6) و پکستونی آرژیلیتی (F8) نیز نشان از تشکیل آن‌ها در نواحی دورتر از منشا و عمیق‌تر است. با توجه به قانون والتر و نحوه چینش ریزرساره‌ها در ستون چینه‌شناسی و نیز با توجه به مقایسه آن‌ها با ریزرساره‌های هم‌ارز در مدل فلوگل [۹] و مدل ویلسون [۱۷] می‌توان تشکیل ریزرساره‌های F1,F2,F3,F4,F5,F6,F7 را به زیر محیط رمپ میانی و ریزرساره F8 را به رمپ خارجی نسبت داد. روآل قرارگیری ریز رخساره‌ها در این زیر محیط به این صورت می‌باشد که ریز رخساره اسفنج پکستون (F6) و اسفنج فلوتستون (F7) در بخش دورتر رمپ میانی و ریزرساره‌های F1,F2,F3,F4,F5 (ریزرساره‌های روداستونی و گرین‌استونی) در بخش‌های نزدیک به منشاء<sup>۳</sup> رمپ میانی و نزدیک به دریای باز قرار گرفته‌اند. بنابراین در رمپ خارجی رخساره‌های گرین‌استونی و روداستونی به رخساره‌های پکستونی و فلوتستونی تبدیل

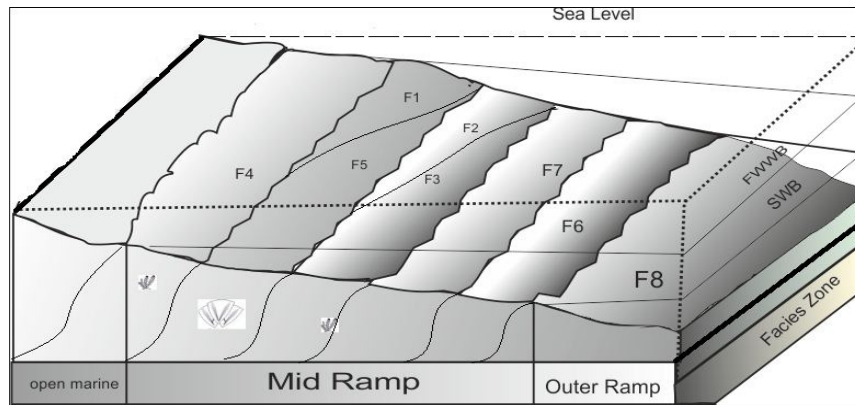
<sup>1</sup> distal

<sup>2</sup> proximal

### زیر محیط رمپ خارجی

رمپ خارجی یا بیرونی منطقه‌ای زیر خط اثر امواج طوفانی تا دشت حوضه‌ای را در بر می‌گیرد [۹]. در این بخش از سمت رمپ میانی به سمت حوضه میزان گل آهکی افزایش می‌باید. عمق آب در این منطقه ممکن است به حدود ۲۰۰ الی ۳۰۰ متر برسد و دارای درجه شوری نرمال می‌باشد [۹]، بنابراین تشکیل ریزرساره F8 (آرژیلیت پکستون) را می‌توان به این زیر محیط نسبت داد. بر اساس مدل اشلایگر [۱۴] ریزرساره‌های میکروسکوپی مربوط به کمربند شماره ۱ [۱۷] می‌توانند در این بخش از رمپ تشکیل شوند (شکل ۱۳).

در شوری نرمال دریا ایجاد می‌شوند [۹] می‌توان نتیجه گرفت که ریزرساره‌های موجود بیشتر در نواحی کم عمق دریا تشکیل شده‌اند [۱۴]. با این وجود تمامی ریزرساره‌های میکروسکوپی که در این پژوهش به رمپ میانی نسبت داده شده‌اند، معادل ریزرساره‌های میکروسکوپی کمربند ۴ [۱۷] نیز هستند. شاید علت این امر پرشیبتر بودن این بخش از رمپ در این ناحیه نسبت به یک رمپ ایده‌آل یا رو به باد بودن رمپ و گستردگی بودن عملکرد طوفان در آن باشد. وجود ساختمان‌های گریدبدینگ نرمال که حاکی از تاثیر طوفان است و گریدبدینگ معکوس که حاکی از عملکرد جریان خرددار است نیز می‌تواند تقویت کننده‌ی این نظریه باشد.



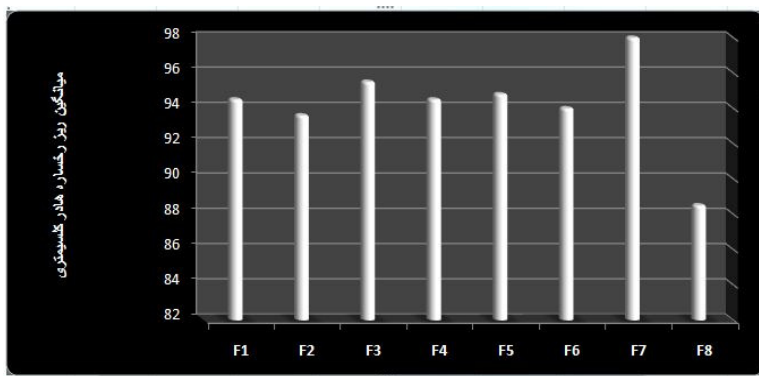
شکل ۱۳. مدل رسوی و توزیع ریزرساره‌های نهشته‌های کرتاسه زیرین در ناحیه معدن دهسرخ، جنوب غرب اصفهان

### ارتباط بین ریزرساره‌ها و درصد کربنات کلسیم نهشته‌ها

همچنانکه در بخش بالا ذکر شد ریزرساره‌های مختلف به میزان یکسان خالص نیستند، بلکه ریزرساره F8 یعنی ریزرساره‌ای آرژیلیت پکستون به دلیل بالا رفتن ذرات رس آواری در آن کمترین خلوص را دارد و ریزرساره‌ای F7 یعنی ریزرساره‌ای اسفنج فلوتسنون دارای بیشترین خلوص است. درصد کربنات کلسیم ریزرساره‌های دیگر نیز در نمودار شکل ۱۴ آورده شده است. بر اساس این اطلاعات می‌توان نتیجه گرفت که ریزرساره‌های دانه‌پشتیبان نسبت به ریزرساره‌های گل پشتیبان خلوص کمتری دارند و مهم‌تر اینکه ورود ذرات آواری در زمان تشکیل ریزرساره‌ها در محیط به شدت خلوص ریزرساره‌ها را دچار نقصان می‌نموده است.

### ارتباط بین ویژگی‌های معدنی نهشته‌های کرتاسه زیرین معدن دهسرخ با ویژگی‌های ریزرساره‌ای و محیطی آنها

یکی از مهم‌ترین اهداف این تحقیق تعیین ارتباط توصیفی بین مهم‌ترین ویژگی معدنی با ویژگی‌های ریزرساره‌ای، محیطی نهشته‌های کرتاسه زیرین معدن دهسرخ بوده است. مهم‌ترین ویژگی معدنی سنگ‌های این معدن بالا بودن میزان کربنات کلسیم و به اصطلاح خلوص سنگ‌های آهکی آن است. آزمایش کلسی‌متی که بر روی تعداد ۳۰ نمونه از سنگ‌های توالی مورد آزمایش انجام گرفت (جدول ۱) به وضوح میزان این خلوص را به اثبات می‌رساند. با این وجود درجات خلوص در طول توالی متفاوت بوده است که علت این تفاوت در زیر تحلیل می‌شود.



شکل ۱۴. میزان میانگین کربنات کلسیم در ریزرساره‌ها سنگ‌های کرتاسه زیرین منطقه معدنی دهسرخ، جنوب غرب اصفهان

می‌توان گفت نسبت به بخش‌های عمیق‌تر رمپ (یعنی بخش حوضه) و بخش‌های کم عمق‌تر آن (یعنی رمپ داخلی) این بخش شرایط مساعدتری برای ایجاد خلوص در نهشته‌های کربناته کرتاسه زیرین را داشته‌اند. به همین دلیل مشابه چنین معادنی در مناطق دیگر اصفهان که عمدتاً از سنگ‌های کربناته کرتاسه زیرین مربوط به رمپ داخلی تشکیل شده‌اند یافت نمی‌شود.

#### ارتباط بین محیط رسوب‌گذاری و درصد کربنات کلسیم نهشته‌ها

از آنجاکه ویژگی ریزرساره‌ها تابع شرایط محیط رسوب‌گذاری آن‌هاست، بنابراین می‌توان با استناد به نوع ریزرساره‌هایی که در هر محیط تشکیل می‌شود، شرایط آن محیط را جوابگوی ویژگی‌های نهشته‌های مربوط به آن ریزرساره و حتی ویژگی‌های معادنی آن دانست. اطلاعات این تحقیق نشان داد که نهشته‌های کرتاسه زیرین در معدن دهسرخ در دو زیرمحیط رمپ خارجی و رمپ میانی نهشته شده‌اند. ریزرساره F8 که کمترین میزان کربنات کلسیم را به خود اختصاص داده است در زیرمحیط رمپ خارجی تولید می‌شده است (شکل ۳). بنابراین می‌توان نتیجه گرفت که شرایط این زیرمحیط برای تولید نهشته‌های خالص مناسب نبوده است. با توجه به اینکه مهم‌ترین ویژگی این زیرمحیط قرارگیری آن در خط اثر امواج طوفانی است می‌توان نتیجه گرفت که آرامش موجود در آن اجازه داده است که ذرات آواری همی‌پلازیک به صورت معلق در این زیرمحیط رسوب نموده و خلوص نهشته‌ها را پایین بیاورند. از طرف دیگر ریزرساره F7 که حاوی بیشترین درصد کربنات کلسیم است در بخش رو به دریای زیرمحیط رمپ میانی تولید می‌شده است، بنابراین می‌توان گفت که چون حمل مجدد ذرات از نواحی بالا دست به این بخش کمتر بوده است بنابراین باعث گل-پشتیبان شدن آن گشته و همین امر ایجاد خالص‌ترین نهشته‌های کربناته را در این بخش از مدل (شکل ۱۳) سبب شده است. این بخش چون در بالاتر از خط اثر امواج طوفانی نیز قرار دارد به دلیل وجود تنابع انرژی در آن نمی‌توانسته به اندازه زیرمحیط رمپ خارجی برای نشست ذرات همی‌پلازیک آواری مناسب باشد. به هر حال در کل

#### نتیجه‌گیری

- در این مطالعه تعداد ۸ رخساره کربناته مورد ارزیابی و شناسایی قرار گرفته است.
- توالی مزبور بر اساس شواهد صحرایی و آزمایشگاهی به سه واحد سنگ‌چینه‌ای قبل تفکیک است.
- از این تعداد ۸ رخساره، ۲ رخساره اسفنج گرینستونی و ۳ رخساره اسفنج روداستونی و ۱ رخساره اسفنج فلوباستونی و ۲ رخساره اسفنج پکستونی می‌باشد.
- مدل رسوب‌گذاری پیشنهادی برای این رخساره یک مدل رمپ کربناته می‌باشد.
- این مدل دارای ۲ بخش Mid Ramp و outer Ramp که در بخش رمپ خارجی، رخساره‌ی آرژیلیت پکستون و در بخش رمپ میانی رخساره‌های اسفنج روداستون، اریبیتولینا اسفنج روداستون، رو دیست اسفنج روداستون، اسفنج فلوباستون، اسفنج گرین استون‌ها، اسفنج پورلی واشد گرین استون، اسفنج پکاستون می‌باشد.
- کلسی‌متر نمونه‌های مربوط به این نهشته‌ها خلوص خوبی را از نظر درصد کربنات کلسیم نشان می‌دهد که مهم‌ترین ویژگی معادنی آن‌ها محسوب می‌شود.

- [4] Burchette TP., Wright VP (1992) Carbonate ramp depositional systems. *J. Sedimentary Geology.* 79: 3-57.
- [5] Dunham RJ (1962) Classification carbonate rocks according to depositional texture, in: Ham, WE (Ed). *Classification of carbonate rocks* AAPG, Mem. 1:108-121
- [6] Dickson. JAD (1965) Carbonate identification and genesis as revealed by staining. *J. sedimentary petrology.* 36(2): 491-505.
- [7] Embry AF, klovan JE (1971) A late Devonian reef tract on northcasterri banks Island. North west Territories ball. *J. petrol.*, 19: 730-781
- [8] Folk.RL (1961) Spectral Subdivision of Limestone typesin : Classification of carbonate rocks. *Journal of American Association. Petroleum Geology.* L: 62-64p.
- [9] Flügle E (2010) *Microfacies of carbonate rocks Analysis interpretation and Application Edition.* Springer Berlin-Heidelberg publishing, 302-49 1p.
- [10] Grabau AW (1913) On the classification of sedimentary rocks. *Journal of geology,* 33:62 - 84
- [11] Lasemi .Y (1980) Carbonate Microfacies and Depositional Environment of the Kinkaid Formation(Upper Mississippian) of the Illinois Basin:PhD Thesis University of Illinois, U.S.A., 139P.
- [12] Middltone .G.V (1973) Walther,s law of the correlation of facies, *Geol. Soc. Of Amer, Bull.* No:39.84: 979- 988.
- [13] Stow. AV (2005) *Sedimentary rocks in the field (colures guide): Manson publishing,* 320p. *geology,* 33:62
- [14] Schlager.W. (2005) *Carbonate sedimentology and sequence stratigraphy of rocks, the leading Edge, geologic colum:* 51-75
- [15] Tucker M. E Wrigh ,V. P (1990) *Carbonate Sedimentology, Published by Black Well Scientific,* 480p.
- [16] Tucker M .E (2003) *Sedimentary Rocks in the Field: 3rd Edition, Willey,* 234P.
- [17] Wilsonn .JL (1975) *Carbonate facies in Geological history.* Springer- verlag berlin. 47IP.
- [18] Walker.R.G (1983) *Facies model. Geoscience Canada publ.* 211p
- [19] Wright. Vp (1992) Arevised classification of limestone. *Jornal of Sedimentary geology,* 76:77- 186.
- [20] Zahedi M (1976) Explanatory text of the Esfahan quadrangle map 1:250000, *Geol. Surv. Iran,* F8, 49p.
- تغییرات نسبی خلوص نشان می‌دهد که خالص‌ترین ریزرساره، ریزرساره F7 است که علت آن فراوانی گل کربناته و کمبود آلومینیم و نیز ذرات آواری رسی است.
- کمترین خلوص را ریز رخساره F8 دارد که علت آن درصد بالای ذرات آواری رسی در آن است.
- مقایسه نتایج کلسی‌متری با محیط رسوبی ریز رخساره-ها نشان داد که بخش دور از منشاء رمپ میانی بهترین شرایط و بخش رمپ خارجی بدترین شرایط را برای ایجاد خلوص در این منطقه دارا بوده است.

### تقدیر و تشکر

آنچه از بن جان می‌آید آن است که از صمیم قلب از همکاری صادقانه و کوشش خالصانه شما در راستای هدایت و ارشاد بنده تقدیر و تشکر نمایم. دلسویزی تلاش و کوشش شما عزيزان حقیقتاً قابل ستایش است. هم‌چنین مراتب امتنان خويش را نسبت به دکتر کنگازیان استاد محترم گروه زمین‌شناسی دانشگاه خوارسگان به خاطر همکاری ايشان در اصلاح مقاله اعلام می‌دارم. از داوران ارجمند که نقش مهمی در بهتر شدن نوشتار و محتوى مقاله داشتند صمیمانه قدردانی شده و هم‌چنین از همه مسئولین اجرایی، خانم مهندس صحرارو و سایر عزيزان دست اندکار مجله يافته‌های نوین زمین‌شناسی دانشگاه بوعلی‌سینا همدان به خاطر پی‌گيری‌های امور مربوطه در امر پذیرش، داوری و... کمال تشکر را دارم. آرزومندم ذات اقدس احديت شما خوبان را در مسیر تحقق اهداف متعالي در گنج الطاف خاصه خويش قرار دهد.

### منابع

- [۱] خسروتهرانی، خ (۱۳۸۶) کتاب رخساره‌های میکروسکوپی، جلد اول، انتشارات دانشگاه تهران ص ۱۸۹,۳۹,۳۶
- [۲] دلای اصفهانی، م (۱۳۸۹) تهیه نقشه توپوگرافی منطقه معدنی ده سرخ.
- [۳] سازمان زمین‌شناسی کشور (۱۳۵۱) نقشه زمین‌شناسی ۱:۱۰۰۰۰۰، شهرضا.

**Mining characteristic and its relationship to the microfacies and sedimentary environment of the lower Cretaceous succession in the Deh-Sorkh mine, (Southwestern of Esfahan)**

**Z. Talebi \*<sup>1</sup>, A. Kangazian <sup>1</sup> and A. Nasr Isfahani<sup>1</sup>**

1- Dept. of Geology, Islamic Azad University, Isfahan Branch (Khorasan)

\* zahratalebi128@yahoo.com

Received: 2015/5/19

Accepted: 2016/1/15

**Abstract**

To determine the relationship between the mining and sedimentology characteristics of carbonate deposits of Lower Cretaceous (Aptian) in Deh-Sorkh mine of Isfahan, a section with thickness of about 182 meters, was studied. According to field studies and lithological characteristics of this succession, it can be separated into three different lithostratigraphic units. The first unit (E1 unit) is composed of thin to medium bedded, gray fossiliferous limestones, the second unit (E2) consists of interbedded limestone and medium to thick clayey limestone beds; and, the third unit (E3) is composed of medium to thick bedded limestone with macrofossils. Microscopic examination of thin sections led to the identification of eight carbonate microfacies consist of two grainstone microfacies, two packstone microfacies, three rudstone microfacies and a floatstone microfacies. These microfacies deposited in different parts (mid ramp and beginning of the outer ramp) of a carbonate ramp with moderate to high energy. Comparison of calcimetry results with sedimentary environment results and microfacies showed that the distal portion of mid ramp had the best conditions and the outer ramp had the worst conditions to establish “calcium carbonate purity” in the carbonate rocks of this region.

**Keywords:** Lower Cretaceous (Aptian), microfaces, Carbonate rocks, Carbonate ramp